

京都大学 正員 岩井重久

" " 高月 純

" 学生員 ○藤田哲男

## 1 まえがき

本研究はごみ腐敗過程の追跡、その解明を実験的に行うこと目指したものである。すなわちごみ腐敗の場をごみ相、液相、気相に別け各相ごとの分解速度、各相間の関連、各相間の物質の移行の概要を明らかにするところである。さらに嫌気的及び好気的腐敗過程の比較検討もおこなつてみた。

## 2 実験装置及び測定項目

1.9 l容のポリエチレン容器に石英砂を入れ、その上にステンレス網(200mesh)の張ったある塙ビケースをのせ、このケース内に粉末模擬ごみ20 gを蒸留水300 mlを懸濁させたものを入れる。この状態で25°C暗黒の恒温槽で培養、腐敗させることをやがてあるが、この培養時にポリエチレン容器を密閉し、嫌

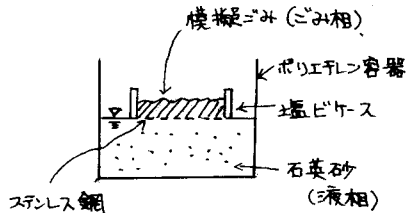


図-1

組成	重量 (dry)	重量 %	粒度 mesh
セルロース	12.2 g	61 %	50~200
プラスチック	1.8 g	9 %	16~32
厨芥	6.0 g	30 %	24~150

表-1

気状態として模擬ごみを腐敗させたサンプルを嫌気性サンプルとした。(図-1) 模擬ごみの組成と性状は表-1に示す。測定項目は、浸出水について、BOD、TOC、PH、有機酸、T-N、NO<sub>3</sub>-N、NH<sub>3</sub>-N、SS、蒸発残留物がある。またごみ固形分に関する、CH分析、ケルダール窒素、n-ヘキサン抽出物、アルカリ溶解試験をおこなった。また微生物数測定、ガス分析をおこなつて調べた。

## 3 実験結果及び考察

## 3-1 浸出水水質

この研究では好気性サンプルとは、自由に大気と接触させて腐敗させたものであるが、嫌気性と比べると、その差は顕著に表われている。

つまりBODは好気性では培養開始後1~2週間で $\frac{1}{4}$ に減少しその後も徐々に減少している。一方嫌気性では

測定期間	Start	浸出水水質									
		1	2	3	4	5	7	9	11	13	15
PH	好 嫌	6.9 6.9	7.15 5.70	7.61 7.49	8.75 7.44	7.95 8.95	8.6 8.6	8.35 6.88	7.65 7.3	5.55 5.5	
BOD	好 嫌	715 715	798 1446	196 178	178 136	95 95	82 82	44 675	44 264	81 1050	
TOC	好 嫌	335 235	410 700	215 355	180 42	160 97	208 68	100 136	180 97	310 360	760
有機酸	好 嫌	136 136	157 430	57 42	42 409	97 516	68 172	136 172	97 524		
T-N	好 嫌	42 42	64 85	53 53	64 53	46 34	34 19	19 11	11 23		
NH <sub>3</sub> -N	好 嫌	14 14	58 82	51 47	47 70	11 65	35 20	11 63	11 20		
NO <sub>3</sub> -N	好 嫌	14.4 14.4	0.76 0.88	0.46 0.2	0.78 0.76	0.42 0.46	0.76 0.52	0.46 0.3	0.5 0.28	0.44 0.28	

表-2 浸出水水質 單位 ppm

は、減少傾向は見らかず、好気性よりも10倍高い値を示している。このBODの動向とよく似ているのが有機酸である。以前からもPHとBOD値の相關について実験的に認められていたが、今回もこの相關は認められ、さらにPH-有機酸-BODという相關も認められた。つまり有機酸が生成され浸出水中にその量が増すと酸性を示すとともにBOD基質も増すと考えられる。好気性については、ごみ相内部の一時嫌気状態になると、嫌気性から有機酸の生成があこがれることはあり、BODも高い値を示さないと思われる。

窒素系物質についても好気性と嫌気性の差が認められた。特にNH<sub>3</sub>-Nは好気性では、より時間とともに、減少傾向を示しているのにに対し嫌気性は依然として高い値(好気性の約5倍)を維持している。また窒素系物質の中でもNH<sub>3</sub>-Nが占められていた。少し変わった動きを示したのがNO<sub>3</sub>-Nである。培養初期に急激に減少し、初期濃度の $\frac{1}{10}$ ~ $\frac{1}{14}$ を示している。その後、好気性、嫌気性の差は認められずとも0.5 ppm前後で安定

12回。また腐敗の安定化指標の一つであるC/N比は、培養後7週間前後で様子が違ひ、好気性の $\gamma$ み相重量減少率が大きくなり始めた7週間目以後は好気性の方が高い値を示す。

### 3-2 圓形分測定結果

$\gamma$ み相の重量変化は、図-2にみると、2週までは、ともに漸減傾向であるが、4週目からは好気性は大きく減少を始め、11週目で約40%が減少した。一方嫌気性は依然漸減傾向を示す。また $\gamma$ み相の組成(C, H, N, 灰分)は嫌気性と好気性ケンタルとともにC, Hに関する測定期間中大差なく、横縦 $\gamma$ みの組成とほぼ同じであった。

灰分についとは好気性の方が常に高い値を示した。 $\text{N}_2$ ヘキサン抽出物は好気性では、初期に多量に生成するが、その後分解で減少していく。嫌気性では、徐々に増加していく傾向を示した。アルカリ可溶率は初期横縦 $\gamma$ み41%と比較すると低下しているが、炭素分、水素分、灰分別に見ても同じように培養期間を通じて有意な差はない。可溶率25%を示す。

### 3-3 ガス分析

嫌気性の場合、 $\text{N}_2$ と $\text{CO}_2$ が大半を占め、 $\text{O}_2$ の存在は、ほとんど認められなかった。しかし嫌気性における $\gamma$ み腐敗の一つの特徴である $\text{CH}_4$ ガスの生成は非常に少量であった。(表-3) 好気性における $\text{CO}_2$ 発生量は表-4に示す通りである。本測定は密閉器を密閉し、1~48時間後にガス分析を行った結果である。平均 $\text{CO}_2$ 発生量は炭素量で0.17mg/時、すこぶる少なかった。また培養期間の長いサンプルほど発生量は小さくなる傾向があった。

### 3-4 全炭素量の各相間移行について

ここでは次の基礎的モデルを仮定することにより $\gamma$ みの腐敗時ににおける $\gamma$ み相、液相、気相間相互の物質(炭素)の移動について考察する。(1) $\gamma$ み相圆形分は $G = g \cdot A$ の量ガス化され、また $F =$

$\gamma A$ の量が水溶化されて液相へ移る。ここで $A$ は $\gamma$ み相圆形分重量、 $G$ はガス化された量、 $S$ は液相へ移行した量、 $g$ を $\gamma$ み相ガス化率、 $\gamma$ を浸出率とする。(2)液相には水溶性物質だけが存在する。また $G' = g' \cdot C$ の量が液相からガス化される。 $G'$ は液相からガス化された量、 $C$ は液相の水溶性物質量、 $g'$ を液相ガス化率とする。

この結果によると、腐敗過程において $\gamma$ み相中炭素の10%前後が $\text{CO}_2$ となり、2~3%が液相へ浸出する。また液相では約50~80%の炭素量が $\text{CO}_2$ となった。つまり $\gamma$ み相における重量減少は液相への浸出によるよりもガス化による方が優先でありその量は3~10倍である。また液相におけるガス化作用は非常に盛んではあるが、 $\gamma$ み相では前期(0~4週間目)から後期(7~11週間目)へと分解が盛んになり $\gamma$ み相からのガス化量、浸出量も多くなるが、液相ではそのガス化率は少くない。(表-5)

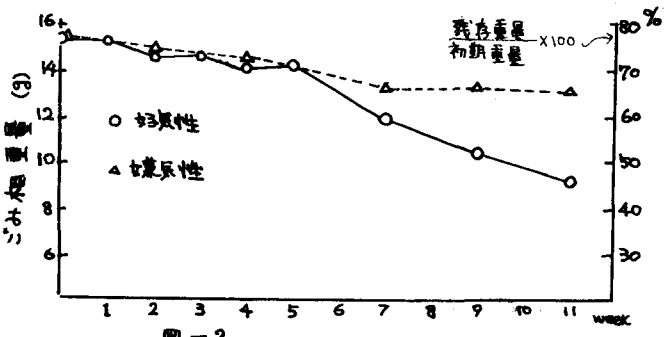


図-2

培養期間	7 weeks	9 weeks	11 weeks
$\text{N}_2$ %	78	75	83
$\text{O}_2$ %	trace	trace	trace
$\text{CO}_2$ %	22	25	16
$\text{CH}_4$ %	0	trace	1
$\text{CO}_2$ 発生量 ml	237	310	196

表-3 嫌気性ガス化発生量

培養期間	6 weeks	7 weeks	12 weeks	13 weeks
1 時間	2.0	-	2.7	-
6 "	-	12.6	-	12.1
12 "	28.6	18.6	27.2	16.9
24 "	59.8	40.7	41.2	35.6
36 "	79.1	60.2	52.5	50.9
48 "	105.6	76.9	75.7	67.3

表-4 好気性ガス化発生量 C:mg

	0→4w	4→7w	7→11w
g	13.1%	72%	14.3%
g'	80.6%	47.7%	64.9%
γ	1.3%	0.3%	4.9%

表-5